

ВЛИЯНИЕ РЕАКЦИОННОЙ СРЕДЫ НА ПРОЦЕСС ГОРЕНИЯ СИСТЕМЫ Zr–Nb–C

УДК 541.122:546:547

Н. Н. Агаджанян, С. К. Долуханян

Институт химической физики НАН РА,
375044 Ереван

Методом самораспространяющегося высокотемпературного синтеза изучены закономерности горения системы Zr–Nb–C в аргоне, азоте и смеси азота и водорода. При горении в аргоне отклонение от стехиометрии по углероду способствует взаимному растворению образующихся фаз и приводит к формированию однофазных сложных карбидов. Показано гомогенизирующая роль водорода в процессе формирования сложных продуктов горения системы Zr–Nb–C–N–H. Установлено, что в системе Zr–Nb–C–N–H происходит конкуренция влияний азота, водорода и углерода. Построены концентрационные треугольники системы Zr–Nb–C, на которой представлена эволюция фазового состава продуктов горения в зависимости от реакционной среды.

При проведении экспериментов использовался метод самораспространяющегося высокотемпературного синтеза (СВС) [1], который позволил организовать быстрое высокотемпературное взаимодействие реагентов за счет тепла химической реакции, а также широко варьировать параметрами процесса при изучении горения многокомпонентных систем. В данной работе этот метод рассматривается не только как способ получения различных ценных материалов, но и как метод изучения физико-химических процессов в многокомпонентных системах, где имеется множество путей протекания реакций, приводящих к образованию сложных соединений или твердых растворов.

Цель настоящей работы — изучение закономерностей горения системы Zr–Nb–C в различных средах (Ar, N₂ и смесь N₂ с H₂) и синтез сложных неорганических материалов на основе Zr–Nb.

Известно, что подобные фазы внедрения, благодаря одновременному влиянию составляющих элементов (C, N, H), приобретают комплекс практически важных физико-механических свойств. Ранее в работе [2] традиционным методом были синтезированы карбиды Zr_xNb_{1-x}C при T = 2000 °C в течение 4–6 ч. Позже более подробно эта система изучалась в [3], где построено изотермическое сечение при T = 2000 °C. Методом СВС при горении ниobia с цирконием и углеродом в газообразном и жидким азоте [4] был получен ряд однофазных карбонитридов.

Эксперименты проводили в бомбе постоянного давления. Температуру и скорость горения измеряли термоэлектрическим методом с использованием вольфрамрениевых термопар. В качестве исходных использовали порошки циркония марки ПЦРК-1 и ниobia (для электронной техники) дисперсностью < 60 мкм, ламповую сажу, чистый газообразный азот, аргон марки А и водород электролизной чистоты. Соотношение металлов в шихте xZr+(1 – x)Nb+yC варьировали в пределах 0,1 ≤ x ≤ 0,9, содержание углерода — 0,4 ≤ y ≤ 0,9. Исходную смесь прессовали в цилиндрические таблетки диаметром ~ 20 мм

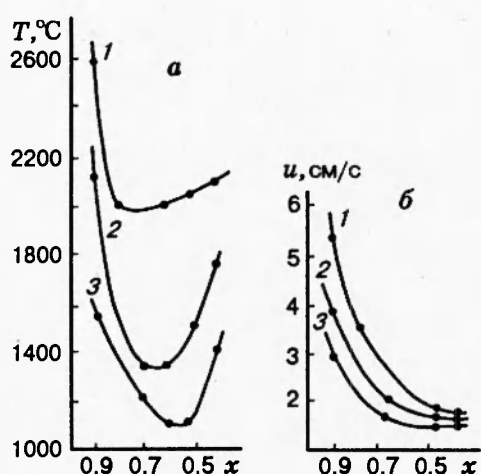


Рис. 1. Зависимость температур (а) и скоростей горения (б) от соотношения Zr/Nb в системе Zr-Nb-C при содержании углерода $y = 0,9$ (1), 0,7 (2) и 0,6 (3)

с относительной плотностью 0,6. Продукты горения изучали с помощью химического и рентгенофазового анализов.

При горении системы $x\text{Zr} + (1-x)\text{Nb} + y\text{C}$ в атмосфере аргона были установлены пределы горения по углероду и ниобию. Результаты экспериментов представлены в табл. 1. Нижний предел горения исследуемой системы по углероду соответствует $y = 0,4$, за исключением состава $0,4\text{Zr} + 0,6\text{Nb}$, где горение прекращается раньше, при $y = 0,6$. Предел горения по Nb составляет 0,7 атомных долей. При большем содержании ниobia шихта не воспламеняется ни при каких концентрациях углерода, что можно объяснить различной активностью Zr и Nb по отношению к углероду. Известно, что в режиме горения реакция Zr + C легко инициируется, тогда как в аналогичных условиях реакция Nb + C осуществляется с трудом [5].

Пока доля Zr в смеси высока, горение реализуется за счет реакции Zr + C, а ниобий вовлекается в процесс уже во фронте горения. Ниобий в этих условиях реакцию горения самостоятельно вести не может и первоначально играет роль разбавителя. Этим можно объяснить понижение температуры и скорости горения (рис. 1). Конечно, Nb — не инертный разбавитель и в какой-то мере вносит свой вклад в процесс горения.

Продуктами горения системы Zr-Nb-C в аргоне являются однофазные сложные карбиды с ГЦК-структурой, либо смесь карбидов циркония и ниobia (см. табл. 1). Анализ фазового состава продуктов позволил выявить тенденцию к образованию однофазных сложных карбидов при понижении содержания углерода почти для всех соотношений металлов, а в составах с одинаковым содержанием углерода — при уменьшении доли Nb (см. табл. 1). Было также установлено, что при атомном содержании углерода в шихте ниже содержания циркония также образуются однофазные сложные карбиды. Поскольку реакцию горения ведет Zr, то при его недостатке, по-видимому, образуется нестехиометрический карбид в области гомогенности ZrC, который в дальнейшем (благодаря развивающимся высоким температурам) взаимодействует с Nb, вовлекая его в процесс карбидизации. В результате образуется сложный однофазный карбид $\text{Zr}_x\text{Nb}_{1-x}\text{C}_y$.

При $y > x$ продукты горения обязательно двухфазные, так как имеются все условия для образования двух самостоятельных карбидов. Реакцию карбидизации схематически

Таблица 1

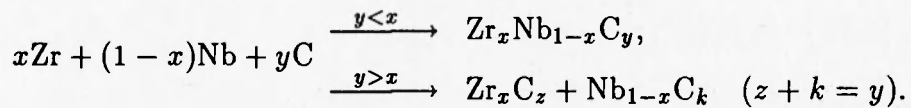
Шихта	[C], %	Фазовый состав	a , Å
0,9Zr+0,1Nb+0,9C	10,68	ZrC+NbC (сл)	4,707
0,9Zr+0,1Nb+0,7C	8,7	ZrC	4,690
0,9Zr+0,1Nb+0,6C	7,1	ZrC	4,664
0,9Zr+0,1Nb+0,5C	6,08	ZrC+Zr (сл)	4,698
0,9Zr+0,1Nb+0,4C	4,88	ZrC+Zr (м)	4,699
0,7Zr+0,3Nb+0,9C	10,95	ZrC+NbC (м)	4,694
0,7Zr+0,3Nb+0,7C	8,81	ZrC+NbC (м)	4,689
0,7Zr+0,3Nb+0,6C	6,6	ZrC	4,697
0,7Zr+0,3Nb+0,5C	5,95	ZrC	4,660
0,7Zr+0,3Nb+0,4C	4,65	ZrC	4,662
0,6Zr+0,4Nb+0,9C	10,7	ZrC+NbC	4,690
0,6Zr+0,4Nb+0,7C	8,76	ZrC+NbC	4,686
0,6Zr+0,4Nb+0,6C	7,39	ZrC+NbC (сл)	4,682
0,6Zr+0,4Nb+0,4C	4,85	ZrC	4,666
0,5Zr+0,5Nb+0,9C	10,02	ZrC+NbC	4,685
0,5Zr+0,5Nb+0,7C	8,85	ZrC+NbC	4,681
0,5Zr+0,5Nb+0,6C	7,06	ZrC+NbC (м)	4,682
0,5Zr+0,5Nb+0,5C	5,89	ZrC	4,680
0,5Zr+0,5Nb+0,4C	5,15	ZrC	4,645
0,4Zr+0,6Nb+0,9C	10,3	ZrC+NbC	4,680
0,4Zr+0,6Nb+0,6C	7,07	ZrC+NbC	4,695

П р и м е ч а н и е. a — параметр кристаллической решетки ZrC, [C] — массовая доля связанного углерода, сл — следы, м — малая концентрация.

Таблица 2

Расчетная формула конечного продукта	[C], %	a , Å
Zr _{0,9} Nb _{0,1} C _{0,91}	10,68	4,706
Zr _{0,9} Nb _{0,1} C _{0,72}	8,7	4,690
Zr _{0,9} Nb _{0,1} C _{0,58}	7,1	4,663
Zr _{0,7} Nb _{0,3} C _{0,54}	6,6	4,697
Zr _{0,7} Nb _{0,3} C _{0,47}	5,95	4,660
Zr _{0,7} Nb _{0,3} C _{0,37}	4,65	4,663
Zr _{0,6} Nb _{0,4} C _{0,39}	4,85	4,666
Zr _{0,5} Nb _{0,5} C _{0,48}	5,89	4,679
Zr _{0,5} Nb _{0,5} C _{0,42}	5,15	4,645

можно представить так:



Отсюда следует, что основное условие формирования однофазных сложных карбидов — поддержание соотношения $y < x$ в исходной шихте. С увеличением «нестехиометричности» шихты наблюдается тенденция к образованию сложных однофазных карбидов. В табл. 2 приведены характеристики синтезированных сложных карбидов.

Результаты исследования горения системы Zr-Nb-C удобно представить графически на концентрационном треугольнике Zr-Nb-C (подобно фазовым диаграммам) (рис. 2). Обычно тройные диаграммы состояния строятся на основе серии изотермических и политермических разрезов путем быстрой закалки исследуемых образцов с последующим фазовым анализом закаленных продуктов [6]. При этом допускается, что при закалке фиксированы именно те фазы, которые существовали при этой температуре.

В данном случае концентрационный треугольник построен не в изотермических условиях. Каждой точке диаграммы соответствует определенная температура горения, свойственная конкретной концентрации компонентов. Учитывая, что CBC-реакции быстротечные (2–15 см/с) и охлаждение продуктов происходит в течение нескольких минут, можно считать, что продукты в какой-то мере «закалены» — каждый при своей температуре горения. Ясно, что такое представление нельзя считать изотермическим разрезом тройной диаграммы состояния. Тем не менее, оно с определенными оговорками допускает сравнение с известной диаграммой состояния указанной системы. Как видно из рис. 2, *a*, однофазные продукты образуются в области I, ширина которой сужается с увеличением содержания Nb. Вне указанной области зафиксированы двухфазные поля. При сопоставлении этого концентрационного треугольника с диаграммой состояния аналогичной системы, представленной в [3], можно заметить, что серьезных противоречий нет, хотя принципы постро-

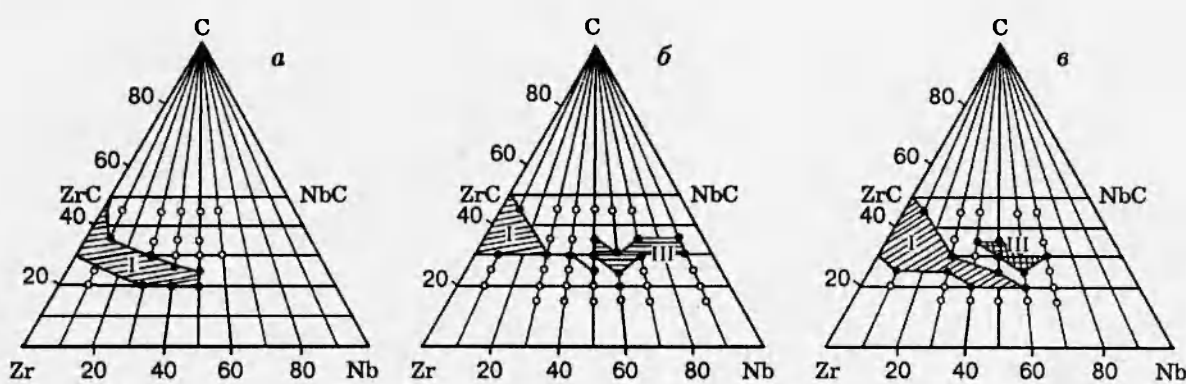


Рис. 2. Фазовая диаграмма продуктов системы Zr–Nb–С при горении в аргоне (а), азоте (б) и смеси азот–водород (в)

ения сильно различаются.

На рис. 2, б представлен концентрационный треугольник системы Zr–Nb–С при горении в атмосфере азота. Надо отметить, что в данном случае удалось реализовать СВС-процесс во всем диапазоне изменений соотношений металлов и углерода, т. е. увеличить область воспламенения. Продуктами горения являются однофазные соединения с ГЦК-решеткой (сложные карбонитриды) либо смесь карбидов, нитридов, карбонитридов циркония и ниобия.

При изучении закономерностей формирования продуктов горения установлено, что в зависимости от параметров процесса происходит смена режимов горения: от фильтрационного к безгазовому. Так, предельные составы $Zr_{0,3}Nb_{0,7}C_y$ и $Zr_{0,1}Nb_{0,9}C_y$, где $0,4 \leq y \leq 0,9$, которые не воспламенялись в аргоне, легко горели в азоте. Ясно, что здесь реакцию горения ведет азот. Однако конечными продуктами горения, особенно в составах с высоким содержанием углерода, в основном являются карбиды. На основании полученных результатов можно утверждать, что во фронте горения образуются твердые растворы азота в металлах. В процессе догорания присутствие необходимого количества углерода способствует реализации реакции твердый раствор N_2 в смеси металл — углерод, приводящей к формированию карбидных фаз. Здесь, вероятно, присутствие углерода тормозит стадию доазотирования, и предпочтительней становится реакция карбидизации.

Рассмотрим процесс горения системы Zr–Nb–С в смеси двух реагирующих газов — N_2 и H_2 , который аналогично [7, 8] протекает в условиях конкуренции исходных неметаллов (С, N, H). При горении в смеси газов определяющую роль играет соотношение парциальных давлений N_2 и H_2 . Как было показано [7, 8], при горении тройной системы Zr–N–H при определенных соотношениях реагирующих газов реакцию горения ведет азот, а в стадии догорания водород тормозит процесс доазотирования. Поэтому здесь предпочтительней становится реакция догидрирования промежуточных продуктов. Таким образом, продуктами горения являются гидридонитриды. В пятикомпонентной системе Zr–Nb–С–N–H, как показали эксперименты, H_2 в некоторых случаях также тормозит реакцию доазотирования. Но здесь в стадии догорания не происходит догидрирования, как в системе Zr–N–H, так как в этом случае благодаря присутствию С предпочтительней становится реакция карбидизации промежуточных продуктов (твердых растворов N_2 в металле). Например, конечные продукты в богатых цирконием составах (табл. 3) аналогичны продуктам го-

Таблица 3

Исходная смесь	[C], %	N ₂ , %	H ₂ , %	Фазовый состав	a, Å
0,7Zr+0,3Nb+0,6C	6,6	—	—	ZrC	4,697
0,7Zr+0,3Nb+0,6C+N ₂	6,78	4,06	—	ZrN	4,581
0,7Zr+0,3Nb+0,6C+N ₂ +H ₂	6,68	3,11	0,06	ZrN	4,593
0,6Zr+0,4Nb+0,4C	4,85	—	—	ZrC	4,666
0,6Zr+0,4Nb+0,4C+N ₂	4,09	4,43	—	ZrN+ZrC	—
0,6Zr+0,4Nb+0,4C+N ₂ +H ₂	4,48	2,75	0,17	ZrC	4,621
0,1Zr+0,9Nb+0,9C*	—	—	—	—	—
0,1Zr+0,9Nb+0,9C+N ₂	10,00	2,74	—	NbC+ZrC	—
0,1Zr+0,9Nb+0,9C+N ₂ +H ₂ *	—	—	—	—	—

* Смесь не горит.

рения этой же системы (Zr–Nb–C–N) в атмосфере N₂. С понижением содержания Zr в конечных продуктах преобладает карбидная, а не нитридная фаза. Богатые ниобием составы, которые легко воспламенялись в азоте, в смеси газов уже не горели (см. табл. 3).

Кроме того, присутствие водорода в некоторых случаях способствует образованию однофазных продуктов — сложных карбонитридов. Это указывает на гомогенизирующую роль водорода при формировании однофазных сложных продуктов горения, которая ранее наблюдалась в работах [7–9].

Таким образом, сопоставляя данные рис. 2, а–в, можно наблюдать эволюцию фазового состава продуктов горения системы Zr–Nb–C в различных средах. Как видно, введение азота позволило расширить концентрационные пределы горения системы Zr–Nb–C, т. е. фактически горение реализуется во всем диапазоне соотношений металлов и изменений концентраций по углероду. При введении азота значительно сузилась область образования однофазных продуктов, одновременно появилась область трехфазных продуктов. При горении в смеси азота и водорода оказалось, что водород, конкурируя с азотом, сужает область горения, одновременно способствуя расширению однофазной области I, при этом трехфазная область III тоже сужается. Следовательно, под воздействием водорода в процессе горения происходит гомогенизация продуктов: некоторые трехфазные продукты превращаются в двухфазные, а часть двухфазных — в однофазные.

В действительности образование тех или иных продуктов горения зависит от комплексного влияния всех компонентов шихты в зависимости от их состава и реакционной способности. Это определяет ведущую роль того или иного реагента в процессе горения многокомпонентных систем.

ЛИТЕРАТУРА

1. Мержанов А. Г., Боровинская И. П. Самораспространяющийся высокотемпературный синтез тугоплавких неорганических соединений // Докл. АН СССР. 1972. С. 366–369. Т. 204.
2. Самсонов Г. В. Тугоплавкие карбиды. Киев: Наук. думка, 1970. С. 155–158.
3. Орданьян С. С. и др. Металлургия и металловедение чистых металлов. М.: Атомиздат, 1976.
4. Авакян А. Б., Баграмян А. Р., Боровинская И. П. и др. Синтез карбонитридов переходных металлов // Процессы горения в химической технологии и металлургии. Черноголовка, 1975. С. 98–113.
5. Мартыненко В. М., Боровинская И. П. Некоторые вопросы горения системы Nb–C // Процессы горения в химической технологии и металлургии. Черноголовка, 1975. С. 125–129.
6. Древинг В. П., Калашников Я. А. Правила фаз. М.: Изд-во Моск. ун-та, 1964.
7. Долуханян С. К., Алексанян А. Г., Сейранян Г. Б. и др. Синтез гидридонитридов в режиме горения // Докл. АН СССР. 1984. Т. 276, № 1. С. 136–140.
8. Долуханян С. К., Алексанян А. Г., Налбандян А. Б., Мержанов А. Г. Исследование процесса горения циркония в смеси газов азота и водорода // Физика горения и взрыва. 1985. Т. 21, № 3. С. 73–77.
9. Агаджанян Н. Н., Долуханян С. К. Исследование процесса горения в системе Zr+Nb+N+H. Синтез сложных гидридонитридов // Физика горения и взрыва. 1990. Т. 26, № 6. С. 120–124.

Поступила в редакцию 10/X 1994 г.
